苦参碱促进三苯氧胺诱导乳腺癌 Bcap-37 细胞凋亡的机制研究

Mechanism of Matrine Promoting Apoptosis Induced by Tamoxifen in Breast Cancer Cell Bcap-37

ZHENG Ru-zhen, ZHANG Jing-yi, SHAO Xi-ying, et al.

郑如珍1,张静宜2,邵喜英3,王晓稼3

(1.杭州市肿瘤医院,浙江 杭州 310002;2. 桐庐县第一人民医院,浙江 桐庐 311500;3.浙江省肿瘤医院,浙江 杭州 310022)

摘 要:[目的]研究三苯氧胺(TAM)联合低剂量苦参碱对人乳腺癌 Bcap-37 细胞的增殖抑制及作用机制。[方法]用 MTT 法检测各组细胞的抑制率,克隆形成实验检测对细胞增殖的影响,流式细胞仪检测细胞凋亡率,Western blot 法检测 p53、Bax、Bcl-2 蛋白表达。[结果] TAM 对 Bcap-37 细胞增殖具有明显抑制作用,且具有剂量和时间依赖性,与低剂量苦参碱联合,其抑制作用明显增强。药物作用 24、48、72h后,与对照组相比,TAM 组的凋亡率均明显增高(P<0.01);与 TAM 组相比,联合组的凋亡率均明显增高(P<0.01)。Western blot 检测发现,与对照组相比,TAM 组 p53、Bax 蛋白表达增加,Bcl-2 蛋白表达降低;与 TAM 组相比,联合组 p53、Bax 蛋白表达增加,Bcl-2 蛋白表达降低。[结论]低剂量苦参碱能促进 TAM 对 Bcap-37 细胞增殖抑制作用,其作用机制与增加 p53、Bax 蛋白表达,降低 Bcl-2 蛋白表达,促进细胞调广有关。

主题词:苦参碱;三苯氧胺;乳腺肿瘤;Bcap-37细胞;细胞凋亡

中图分类号:R737.9 文献标识码:A 文章编号:1671-170X(2012)11-0840-04

乳腺癌是女性最常见的恶性肿瘤之一,占全身各种恶性肿瘤的 7%~10%^[1],乳腺癌是一种激素依赖性肿瘤,三苯氧胺(tamoxifen,TAM)是一种雌激素受体(estrogen receptor,ER)阻断剂,已经广泛应用于乳腺癌雌激素受体、孕激素受体(progesterone receptor,PR)阳性患者的辅助治疗和解救治疗,然而,长期应用 TAM 可促进子宫内膜癌及血栓形成等危险^[2,3]。

相关研究发现,苦参(sophora flavescens ait)的主要活性成分苦参碱(matrine)可以抑制多种肿瘤细胞增殖,诱导肿瘤细胞分化,促进细胞凋亡。该实验以人乳腺癌 Bcap-37 细胞为研究对象,探讨 TAM 联合低剂量苦参碱对 Bcap-37 细胞增殖抑制作用机制。

1 材料与方法

1.1 材料与仪器

细胞:人乳腺癌 Bcap-37 细胞株购自上海中科

通讯作者:王晓稼,主任医师,博士;浙江省肿瘤医院化疗中心,浙江 省杭州市拱墅区半山桥广济路 38 号(310022); E-mail: wxi88851@vahoo.com.cn。

收稿日期:2012-09-10;修回日期:2012-10-22

院细胞所。

药物: 苦参碱注射液购自广州白云山明兴制药有限公司(批号:090204)。

试剂和仪器:标准品 TAM 为欧洲药典生产,纯度>99%,分子量为 563.6,溶于无水酒精,冰箱储存备用。DMEM 高糖培养液购自杭州宏博生物工程有限公司。胎牛血清购自赛默飞世尔生物化学制品(北京)有限公司。MTT 粉、DMSO 购自美国 Sigma 公司。Cycle plus DNA-kit 试剂盒、Annexin V-FITC & PI Apoptosis Detection Kits 试剂购自美国 Becton Dickinson 公司(批号:37615;80625)。

1.2 方 法

细胞培养:用含 10%胎牛血清的 DMEM 高糖培养液,于 37℃、5%CO₂ 的孵箱中培养人乳腺癌 Bcap-37 细胞,以 1:2~1:3 传代。

MTT 法检测药物对细胞的抑制率:Bcap-37 细胞按每孔 4 000 个细胞/100μl 接种于 96 孔板,贴壁24h,倒去培养液,分别加入不同浓度的 TAM 100μl,浓度为 0、0.1、0.5、2.0、3.5、5.0、6.5、8.0mg/L, 另设对照孔(只加培养液 100μl),每组设 8 个复孔。细胞培

养 24、48 和 72h 后,每孔加入 5mg/ml MTT 液 15μl,继续培养 4h,吸去上液,每孔加入 DMSO 150μl,摇床上摇晃 10min。用酶标仪检测 550nm 处各孔吸光值 OD_{550} , 计算各组抑制率,细胞抑制率=(对照组 OD_{550} -试验组 OD_{550})/对照组 OD_{550} ×100%。实验重复 3 次,计算 TAM 的 IC_{50} 、 IC_{30} 和 IC_{20} 值。

克隆形成率实验:以低浓度苦参碱注射液(80mg/L)、TAM(2.6mg/L)为研究药物浓度,设对照组、苦参碱(80mg/L)、TAM(2.6mg/L)、苦参碱(80mg/L)+TAM(2.6mg/L)4组(以下实验同)。Bcap-37细胞贴壁24h,加入实验药物,继续培养48h,消化计数,每组分别接种Bcap-37细胞400个/培养瓶,继续培养2周,PBS漂洗两次,每孔加入甲醇3ml,固定15min,弃固定液,加适量姬姆萨染液染色,自然干燥,肉眼直接计数克隆,计算克隆形成率。克隆形成率=克隆数/接种细胞数×100%。

流式细胞仪测定细胞凋亡率:Bcap-37细胞按每瓶 10×10⁴接种,设对照组、苦参碱组、TAM、苦参碱联合 TAM 4组,贴壁 24h,加入实验用药,继续培养 24、48、72h,胰酶消化,1 200r/min 离心 6min,收集各时间点细胞。将各组细胞经 PBS 液漂洗 2次,按 Annexine/PI 试剂盒操作,上流式细胞仪检测细胞凋亡率,每份标本计数 10 000 个细胞,实验重复 3次。

Western blot 检测 p53、Bax、Bcl-2蛋白表达: Western blot 检测药物作用 48h 后各试验组细胞 p53、Bax、Bcl-2蛋白表达情况,按说明书操作。

1.3 统计学处理

应用 SPSS16.0 统计软件, 计量资料用均数±标准差(x̄±s)表示,检验方差齐性,均数间两两比较用单因素方差分析,多组均数间比较用方差分析,F检验,以 P<0.05 为差异有统计学意义。

2 结 果

2.1 TAM 对 Bcap-37细胞增殖的影响

由表 1 可见,与对照组相比,TAM 对 Bcap-37 细胞具有明显抑制作用,且随着药物浓度增加(0.1、0.5、2.0、3.5、5.0、6.5、8.0mg/L)、药物作用时间延长(24、48、72h),平均抑制率逐渐增加,呈现剂量和时间依赖效应。TAM 作用于 Bcap-37 细胞 24、48、72h

的 IC₅₀ 分别为 5.276、2.676、1.693mg/L, IC₃₀ 分别为 1.363、0.827、0.556mg/L, IC₂₀ 分别为 0.576、0.392、0.274mg/L。

表 1 不同浓度 TAM 作用 24、48、72h 后对 Bcap-37 细胞 生长抑制率(%)的比较

TAM 浓度(mg/L)	24h	48h	72h
0	0	0	0
0.1	9.30±0.09	11.30±0.08	15.90±0.13
0.5	17.70±0.12	20.40±0.10	23.10±0.05
2.0	26.10±0.03	33.30±0.04	37.80±0.07
3.5	40.00±0.01	48.90±0.06	54.20±0.03
5.0	47.80±0.11	57.10±0.13	61.10±0.10
6.5	55.60±0.04	65.50±0.04	72.00±0.08
8.0	65.90±0.02	82.00±0.08	91.90±0.09

2.2 苦参碱、TAM 对细胞克隆形成率的影响

对照组、苦参碱组、TAM 组和联合组每 400 个细胞形成的克隆数分别为 87±2.52、78±2.08、54±2.52 和 44±2.52,与对照组相比,单药组的克隆数明显下降,与 TAM 组相比,联合组的克隆数明显下降,差异均具有统计学意义(F=207.900,P<0.01)。结果提示,TAM 可以抑制 Bcap-37 细胞增殖,而且联合低剂量苦参碱可以增强其对 Bcap-37 细胞的生长抑制作用。

2.3 苦参碱、TAM 对细胞凋亡率的影响

由表 2 可见,药物作用 24、48、72h 后,与对照组相比,TAM 组的凋亡率均明显增高,与 TAM 单药组相比,联合组的凋亡率均明显增高(P<0.01),差异均具有明显统计学意义 (P<0.01),F 值为 331.038 (24h)、359.630(48h)、630.456(72h)。并以作用 48h 后的细胞凋亡最为明显。

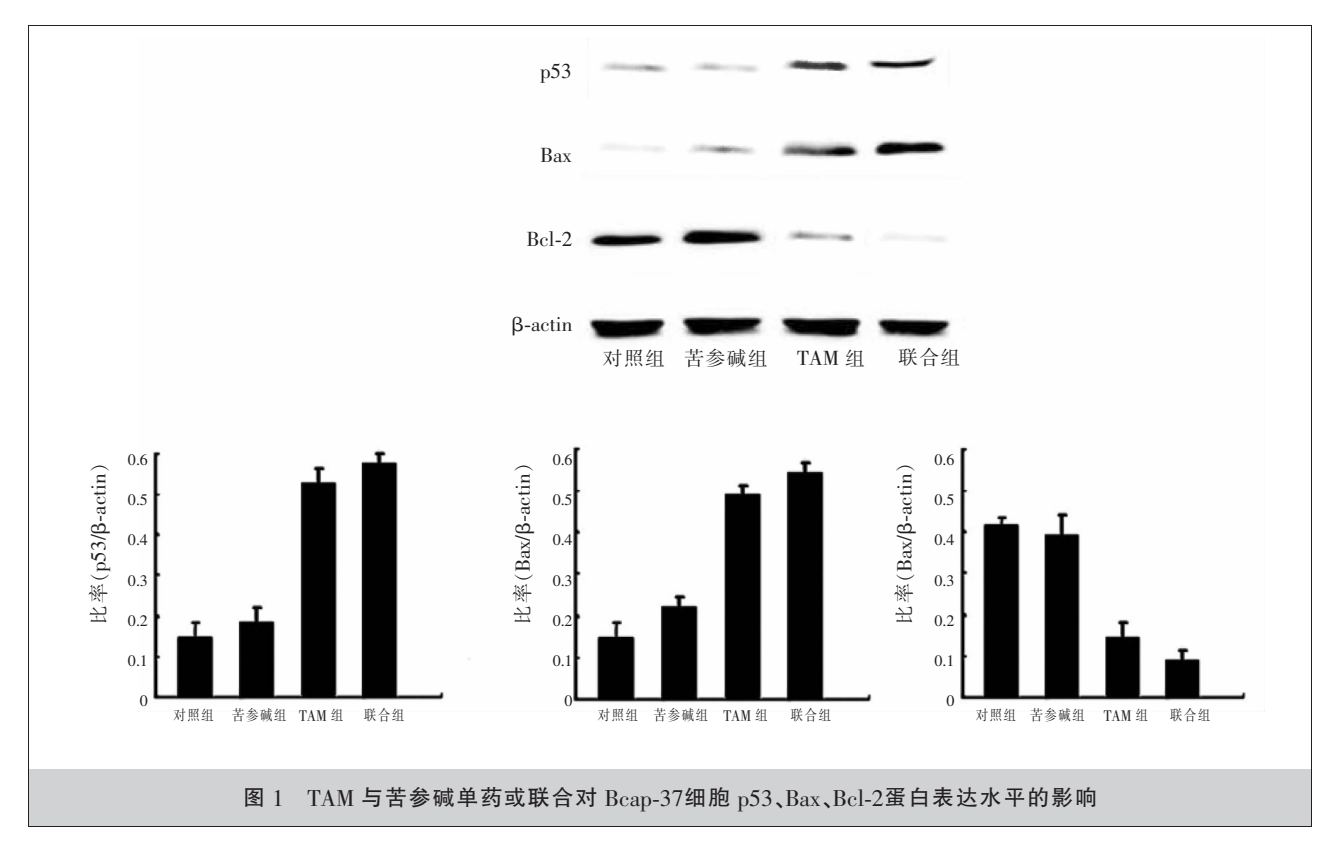
表 2 FCM 检测药物作用 24、48、72h 后各组 Bcap-37 细胞的凋亡率(%)

组别	24h	48h	72h
对照组	2.86±031	3.10±0.50	2.97±0.24
苦参碱组	4.78±0.44	6.90±0.19	5.53±0.30
TAM 组	11.22±0.64*	14.84±0.94*	13.10±0.42*
联合组	17.73±0.97*△	23.89±1.99*△	20.91±0.96*△

注:与对照组比较:*P<0.01;与 TAM 组比较:*^ΔP<0.01。

2.4 Western blot 检测 p53、Bax、Bcl-2蛋白表达

从图 1 中可以看出,与对照组相比,TAM 组 p53、Bax 蛋白表达增加,Bel-2 蛋白表达降低。与 TAM 组相比,联合组 p53、Bax 蛋白表达增加,Bel-2 蛋白表达降低。



3 讨论

内分泌治疗是乳腺癌全身治疗的重要手段之一。TAM 是一种雌激素受体调节剂,通过在细胞水平阻断雌激素与其受体结合而起到抗雌激素作用,对绝经前和绝经后乳腺癌患者都具有确切疗效。有研究证实^[4],TAM 能通过调节乳腺癌 MCF-7 细胞的Bax 和 Bcl-2 水平,从而促进肿瘤细胞的凋亡。苦参碱是从苦参根、苦豆子中提取的一些生物碱等,其分子结构为 C₁₅H₂₄N₂O^[5,6],苦参碱可抑制多种肿瘤细胞增殖、诱导细胞分化,促进凋亡,并且,与化疗药物联合能显著增强化疗药物的疗效^[5-11],成为抗肿瘤治疗一个新的研究热点。体外实验证实,苦参碱和 TAM均可诱导乳腺癌 MCF-7 细胞凋亡^[4,12],因此,理论上两者联用存在效果增强的可能。该试验选用低剂量的苦参碱与 TAM 联合使用,旨在排除细胞毒的相加作用,观察苦参碱增强 TAM 的抗肿瘤作用。

该研究发现,不同浓度 TAM 对人乳腺癌 Bcap-37 细胞生长具有明显抑制作用,且随着药物浓度增加、作用时间延长,抑制率也逐渐增加,呈现剂量和时间依赖效应。进一步行克隆形成率实验证实,低剂 量苦参碱与 TAM 联合使用,能显著增强 TAM 对Beap-37 细胞的抑制作用,差异具有统计学意义(P<0.01)。通过流式细胞仪检测发现,药物作用 24、48、72h 后,与对照组相比,TAM 组的凋亡率均明显增高,与 TAM 单药组相比,联合组的凋亡率均明显增高(P<0.01),差异均具有显著统计学意义(P<0.01),并以作用 48h 后的细胞凋亡最为明显。

细胞凋亡的发生机制十分复杂,与许多基因表达有密切关系,其中 Bcl-2 家族倍受瞩目,它通过表达的蛋白发挥促进或抑制细胞凋亡的作用。Bcl-2 和Bax 分别是 Bcl-2 家族中最具代表性的抑制凋亡和促进凋亡基因,并且 Bax 是 Bcl-2 活性的主要调控因子,是 Bcl-2 家族中研究最广泛的促凋亡蛋白。Bcl-2/Bax 是决定凋亡的一个重要因素[13]。在细胞中,当 Bax 表达量较高时,形成同源二聚体 Bax/Bax,促进细胞凋亡,当 Bcl-2 表达量较高时,形成异源二聚体 Bcl-2/Bax 比值对决定细胞是否进入凋亡状态有重要意义,是决定对细胞凋亡抑制作用强弱的关键因素[16,17]。细胞死亡是通过 p53 依赖或非依赖两条途径进行调节的,而高效的细胞凋亡必须通过 p53 途径[18]。 p53 基因包括野生型 p53 基因(wild type p53,wtp53)和突变型

p53 基因 (mutant type p53, mtp53), wtp53 基因对细 胞凋亡有促进作用,mtp53则可抑制细胞凋亡的发 生,两者均参与细胞凋亡的调节。研究表明,p53 的 凋亡调节作用是通过上调 Bax 和下调 Bel-2 或 Bel-xl 等实现的,通过它们的相互作用调节细胞线粒体的 通透性,从而影响下游的促凋亡基因的功能。p53活 性增高可迅速下调 Bcl-2 基因的表达, 当 p53 基因 敲除,Bcl-2蛋白水平明显增高。基因调节凋亡与其 调节 Bel-2 家族蛋白有明显的相关性,可能是调节 Bcl-2 家族蛋白的重要因素[19,20]。与此相符的,该实 验通过 Western blot 检测发现,与对照组相比,TAM 组 p53、Bax 蛋白表达增加,Bel-2 蛋白表达降低。与 TAM 组相比, 联合组 p53、Bax 蛋白表达增加,Bcl-2 蛋白表达降低。因此,低剂量苦参碱促进 TAM 诱导 乳腺癌 Bcap-37 细胞凋亡的机制可能与调节 p53、 Bax、Bel-2蛋白有关。

从理论上讲,TAM的浓度越高,对乳腺癌细胞的抑制作用越强,具有明显的剂量相关性。然而,长期应用 TAM 可促进子宫内膜癌增生及血栓形成等危险,临床上使用的 TAM 在避免加重其不良反应的前提下采用的是较低的剂量(20mg/d),因而,如果能够提高同等浓度下 TAM 的抗癌活性,则对提高临床疗效具有一定参考价值。近年来,很多研究已经表明,中药提取物苦参碱是一种高效低毒的抗肿瘤药物,与多种化疗药物联合能显著增强化疗疗效,并且,该试验也证实了低剂量苦参碱能促进 TAM 对人乳腺癌 Bcap-37 细胞的抑制作用,其作用机理与增加 p53、Bax 蛋白表达,降低 Bcl-2 蛋白水平,从而诱导细胞凋亡有关。然而,这种实验结果与人体内药物作用结果是否一致,目前尚难定论,该实验只是初步报告,尚待临床进一步验证。

参考文献:

- [1] Jemal A, Siegel R, Ward E, et al. Cancer statistics [J]. CA Cancer J Clin, 2008, 58(2):71–96.
- [2] Fisher B, Costantino JP, Wickerham DL, et al. Tamoxifen for the prevention of breast cancer: current status of the National Surgical Adjuvant Breast and Bowel Project P-1 study[J]. J Natl Cancer Inst, 2005, 97(22):1652–1662.
- [3] 杨名添,连臻强.乳腺癌内分泌治疗的进展[J].癌症, 2007,26 (4): 440-444.
- [4] 郑军,姚榛祥. 三苯氧胺对乳腺癌细胞凋亡和耐受性的 影响[J].中华肿瘤杂志,2000,22(1):55-57.
- [5] Zhang Y, Zhang H, Yu P, et al. Effects of matrine against

- the growth of human lung cancer and hepatoma cells as well as lung cancer cell migration [J]. Cytotechnology, 2009,59(3):191–200.
- [6] Qin XG, Hua Z, Shuang W, et al. Effects of matrine on HepG2 cell proliferation and expression of tumor relevantproteins in vitro[J]. Pharm Biol, 2010, 48(3):275–281.
- [7] Ma L, Wen S, Zhan Y, et al. Anticancer effects of the Chinese medicine matrine on murine hepatocellular carcinoma cells[J]. Planta Med, 2008, 74(3):245–251.
- [8] Jiang H, Hou C, Zhang S, et al. Matrine upregulates the cell cycle protein E2F-1 and triggers apoptosis via the mitochondrial pathway in K562 cells[J]. Eur J Pharmacol, 2007, 559(2-3):98-108.
- [9] Yu HB, Zhang HF, Li DY, et al. Matrine inhibits matrix metalloproteinase-9 expression and invasion of human hepatocellular carcinoma cells [J]. J Asian Nat Prod Res, 2011, 13(3):242–250.
- [10] Yang CL, Liu SS, Ma YG, et al. The influence of intraoperative pleural perfusion with matrine-cisplatin or cisplatin on stromal cell-derived factor-1 in non-small cell lung cancer patients with subclinical pleural metastasis[J]. Med Oncol, 2012, 29(2):574–581.
- [11] 陈伟忠,曾欣,林勇,等.苦参碱对肝癌细胞 HepG2 增殖的影响及端粒酶活动调控的体外研究[J]. 肿瘤学杂志, 2002,8(3):168-170.
- [12] Li LQ, Li XL, Wang L, et al. Matrine inhibits breast cancer growth via miR-21/PTEN/Akt pathway in MCF-7 cells [J]. Cell Physiol Biochem, 2012, 30(3):631-641.
- [13] Guo B, Zhai D, Cabezas E, et al. Humanin peptide suppresses apoptosis by interfering with Bax activation [J]. Nature, 2003, 423(6938):456–461.
- [14] Parikh N, Koshy C, Dhayabaran V, et al. The N-terminus and alpha-5, alpha-6 helices of the pro-apoptotic protein Bax, modulate functional interactions with the anti-apoptotic protein Bcl-xL[J]. BMC Cell Biol, 2007, 8:16.
- [15] Choi BH, Kim W, Wang QC, et al. Kinetin riboside preferentially induces apoptosis by modulating Bcl-2 family proteins and caspase-3 in cancer cells [J]. Cancer Lett, 2008, 261(1):37–45.
- [16] Cottet S, Schorderet DF. Triggering of Bcl-2-related pathway is associated with apoptosis of photoreceptors in Rpe65-/- mouse model of Leber's congenital amaurosis [J]. Apoptosis, 2008, 13(3):329-342.
- [17] Bivik CA, Andersson EB, Rosdahl IK. Wavelength-specific effects on UVB-induced apoptosis in melanocytes. A study of Bcl-2/Bax expression and keratinocyte rescue effects[J]. Melanoma Res, 2005, 15(1):7–13.
- [18] Chowdhury I, Tharakan B, Bhat GK. Current concepts in apoptosis: the physiological suicide program revisited [J]. Cell Mol Biol Lett, 2006, 11(4):506–525.
- [19] Moll UM, Marchenko N, Zhang XK. p53 and Nur77/TR3 transcription factors that directly target mitochondria for cell death induction [J]. Oncogene, 2006, 25 (34):4725 4743.
- [20] Yu J, Zhang L. The transcriptional targets of p53 in apoptosis control[J]. Biochem Biophys Res Commun, 2005, 331 (3):851-858.